

рически симметричных плотностей свободных (не вступивших в хим. связи) атомов данной структуры, к-рые расположены соответственно в точках с координатами  $x_i, y_i, z_i$ . При установлении по рентг. дифракц. данным деформац. электронной плотности наиб. сложен учёт

рода и к понижению  $T_c$ . Для кристаллов  $\text{YBa}_2\text{Cu}_3\text{O}_{7-\delta}$  методами Р. с. а. установлено упорядочение в размещении атомов O. В пределах одного кристалла установлено наличие ромбических по симметрии областей локального состава  $\text{YBa}_2\text{Cu}_3\text{O}_7$  с  $T_c \sim 90$  К и областей

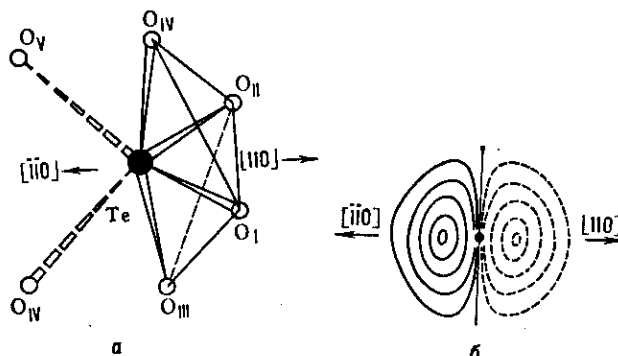


Рис. 8. Ближайшее окружение теллура атомами O в структуре  $\alpha\text{-TeO}_5$ , (a) в ангармонической составляющей распределения плотности вероятности нахождения атома Te в данной точке пространства в процессе тепловых колебаний (b). Положительные (сплошные) и отрицательные (штриховые) линии равного уровня проведены через  $0,02 \text{ \AA}^{-4}$ .

тепловых колебаний атомов, существ. образом коррелирующих с характером и направлениями хим. связей. Т. о., деформац. плотность  $\delta\rho(x, y, z)$  отражает перераспределение в пространстве той части электронной плотности атомов, к-рая непосредственно участвует в образовании хим. связей (рис. 9).

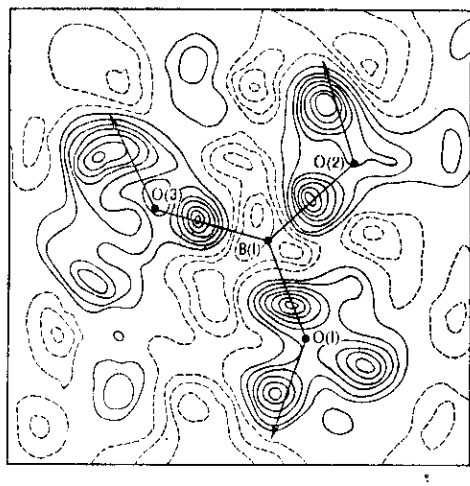
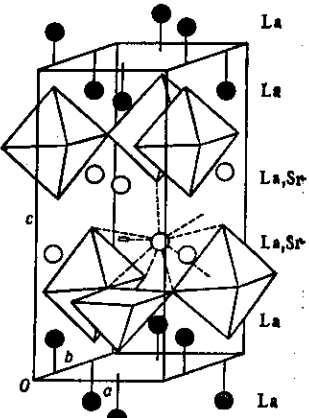


Рис. 9. Сечение синтеза деформационной электронной плотности кристалла  $\text{Li}_3\text{B}_4\text{O}_5$  плоскостью, проходящей через атомы O треугольной группы  $\text{BO}_3$ , в центре которой находится атом B. Максимумы на отрезках B—O указывают на ковалентный характер связей между этими атомами. Штриховыми линиями выделены области, из которых электронная плотность переместилась на химические связи. Линии равного уровня проведены через  $0,2 \text{ \AA}^{-4}$ .

Структурные исследования высокотемпературных сверхпроводников позволили установить их атомное строение и его связь с их физ. свойствами. Было показано, что в монокристаллах  $(\text{La}, \text{Sr})_2\text{CuO}_{4-\delta}$  темп-ра перехода в сверхпроводящее состояние  $T_c$  зависит не только от кол-ва Sr, но и от способа его статистич. размещения. Равномерное распределение атомов Sr в структуре является оптимальным для сверхпроводящих свойств. Концентрация Sr в определ. слоях структуры (рис. 10) ведёт к потере в этих слоях части кисло-

роды и к понижению  $T_c$ . Для кристаллов  $\text{YBa}_2\text{Cu}_3\text{O}_{7-\delta}$  методами Р. с. а. установлено упорядочение в размещении атомов O. В пределах одного кристалла установлено наличие ромбических по симметрии областей локального состава  $\text{YBa}_2\text{Cu}_3\text{O}_7$  с  $T_c \sim 90$  К и областей



$\text{YBa}_2\text{Cu}_3\text{O}_{6.5}$  с  $T_c \sim 60$  К. В кристаллах с кол-вом кислорода меньше чем 6,5 атома на элементарную ячейку, наряду с областями ромбич. симметрии локального состава  $\text{Ba}_2\text{Cu}_3\text{O}_{6.5}$  появляются области тетрагональной симметрии локального состава  $\text{YBa}_2\text{Cu}_3\text{O}_6$ , к-рые не переходят в сверхпроводящее состояние.

Для решения мн. задач физики твёрдого тела, химии, молекулярной биологии и др. весьма эффективно совместное использование методов рентгеноструктурного анализа и резонансных методов (ЭПР, ЯМР и др.). При исследовании атомного строения белков, нуклеиновых к-т, вирусов и др. объектом молекулярной биологии возникают специфич. сложности. Макромолекулы или более крупные биол. объекты необходимо прежде всего получить в монокристаллич. форме, после чего для их исследования можно применять все методы Р. с. а., развитые для изучения кристаллич. веществ. Проблема фаз структурных амплитуд для белковых кристаллов решается методом изоморфных замещений. Наряду с монокристаллами исследуемого патинового белка получают монокристаллы его производных с тяжелоатомными добавками, изоморфными кристаллам исследуе-

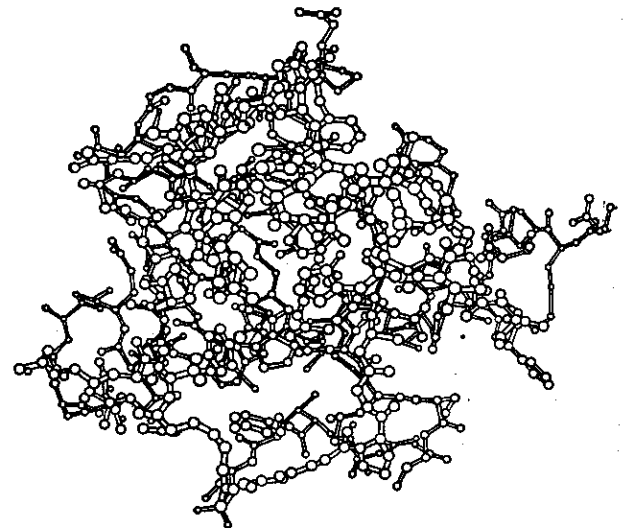


Рис. 11. Атомная модель молекулы гуанил-специфичной рибонуклеазы  $\text{C}_8$ , построенная на основе рентгеноструктурного исследования монокристаллов этого белка с разрешением 1,55 Å.